

## ARAŞTIRMA MAKALESİ

## RESEARCH ARTICLE

# Atların Ön Bacak Fleksor Tendolarında Akut Peritendinitislerin Termografik, Ultrasonografik ve Radyografik Tanısı ►

Ünal YAVUZ,<sup>1</sup> İbrahim DEMİRKAN,<sup>1\*</sup> Musa KORKMAZ<sup>1</sup>

Kocatepe Vet J (2010) 3 (1): 31-40

**Anahtar Kelimeler**

Afyonkarahisar  
Ayak  
Hastalık  
Prevalans  
Sığır

**Key Words**

Afyonkarahisar  
Disease  
Foot  
Prevalance  
Cattle

<sup>1</sup> Afyon Kocatepe Üniversitesi  
Veteriner Fakültesi  
Cerrahi Abnabilim Dalı  
Afyonkarahisar  
TÜRKİYE

\*Corresponding author  
Email: demirkan@aku.edu

Tel: 0272 228 13 12  
Fax: 0272 228 13 49

► Aynı İsimli Yüksek Lisans  
Tezinden Özetlenmiştir (Afon  
Kocatepe Üniversitesi Sağlık  
Bilimleri Enstitüsü-2007-034)

**ÖZET**

Bu çalışmada, çeşitli ırklara ait beygir ve kısraklar ağır egzersiz öncesi ve sonrası peritendo'da meydana gelen akut yanının termografik, ultrasonografik ve radyografik yöntemlerle karşılaştırılmış erken tanısı ve devam eden iyileşme sürecindeki değerlerin incelenmesi amaçlanmıştır. Bu amaçla, ön ekstremitelerin, fleksor tendolarından musculus flexor digitorum superficialis (MFDS) ve musculus flexor digitorum profundus (MFDP) tendolarının termografi cihazıyla ağır egzersiz öncesi, egzersizden 20 dk, 35 dk, 50 dk, 80 dk, 7. gün ve 14. gün sonraki görüntüleri alındı. Termografi ölçümlerinde, egzersiz öncesi ve egzersiz sonrasında incelenen her bölgedeki sıcaklık ortalamaları arasında anlamlı farklar gözlenmiştir ( $p<0.05$ ). Ultrasonografik muayene ve ölçümlerde egzersiz öncesi ve egzersiz sonrası termografiyi takiben 90 dk, 7. gün ve 14. günlerde tendoların mesafe, kalınlık, çevre ve alan değerleri ölçülmüştür. Ultrasonografî deðerleri arasında istatistiksel olarak anlamlı bir fark olmadığı gözlenmiştir ( $p>0.05$ ). Elde edilen verilerde termografi cihazının üstün özelliklere sahip olduğu, küçük sıcaklık değişimlerini tespit etmede bile çok duyarlı olduğu belirlenmiştir. Diğer ultrasonografî gibi tanı yöntemlerine alternatif olmak yerine beraber kullanıldığında tanıya yardımcı olucuna varılmıştır.

• • •

## **Thermographic, Ultrasonographic and Radiological Diagnosis of Acute Tendovaginitis in Front Legs of Horses**

**S U M M A R Y**

The aim of this study was to investigate the comparisons of early diagnosis and healing process of acute inflammation in peritendon by thermographic, ultrasonographic and radiographic techniques in various breeds of stallion and mares. For this purpose, front limb of flexor tendons, musculus flexor digitorum superficialis (MFDS) ve musculus flexor digitorum profundus (MFDP) were recorded by an thermography device before and 20-, 35-, 50- 80 mins, 7th day and 14th days after egzersize. There were statistically significant differences in thermographic values between before egzersize and after egzersize ( $p<0.05$ ). In ultrasonographic examination and measurement before enduring egzersize and 1.5 hour after thermographic examination, at 7th and 14th days distance, length, border and area of technods were obtained. No statistically significant difference was observed in ultrasonographic values. ( $p>0.05$ ). Data obtained here showed that thermography has superior features, and very sensitive to detect minute temperature changes. Not alone but used in combination with other diagnostic techniques like ultrasonography, it will support the diagnosis.

## GİRİŞ

Atlar ortopedik hastalıklar yönünden çok hassas hayvanlardır. Gerek sportif amaçlı kullanılan gerekse yarış amaçlı kullanılan atlarda birçok şirürjikal lezyonlar meydana gelmektedir. Bu şirürjikal lezyonlardan birisi de tendolarda meydana gelen yanıklardır.<sup>1</sup> Peritendinitis, tendo kılıfının sinoviyal membranının yanığı olarak tanımlanır ve hızlı bir şekilde tendo kılıfı içinde sinoviya birikimi ile karakterizedir. Akut yanık belirtilerinin varlığı (şişlik, ağrı, ısı artışı gibi) tanıda yardımcı olur. Bazı septik peritendinitislerde önemli oranda sinoviyal sıvı birikimi, ısı, ağrı, şişkinlik, şiddetli topallık ve suppuratif sinoviyal sıvı ile karakterizedir. Şiddetli topallıkla birlikte tendo kılıfında sıvı birikmesi, ısı, ağrı ve şişliğin olmasına kolaylıkla tanı konur. Kesin tanıda sinoviyal sıvı analizi yapılır.<sup>2</sup> Yanık belirtileri, ağrı veya topallık olmadan tendo kılıfları içerisinde olağandan fazla miktarlarda sinoviyal sıvı birikebilir ve bazı durumlarda taylor bu şekilde (idiopatik peritendinitis) doğabilir.<sup>3,4</sup> Peritendinitis ve tendinitisleri (tendo yanığı) teşhis edebilmek için ultrasonografı kullanılır. Bunun yanında kontrast artrografi ve tenoskopide yapılabilir.<sup>5</sup> Termografi metodu ise daha çok tümörlerin erken tanısı, yumuşak doku hastalıkları ve damar lezyonlarının belirlenmesinin yanı sıra topallıkların, horner sendromunun, stres kırıklarının, osteoartritislerin, süperfisial fleksor tendinitisin ve naviküler hastalığın tanısında radyografi, ultrasonografi ve sintigrafi ile birlikte tanıya yardım amacıyla kullanılmaktadır. Bu hastalıkların tanısında termografinin, radyografi, ultrasonografi ve sintigrafi ile beraber kullanılması durumunda daha yüksek başarı oranı elde edildiği belirtilmektedir.<sup>2</sup> Termografi, deriden yayılan sıcaklığın (ısı dalgalarının) ölçülerek patolojik değişikliklerin değerlendirildiği bir görüntüleme yöntemidir<sup>7-10</sup> ve termografi cihazları vücuttaki 0,1 derecelik ısı farkını dahi algılayabilir.<sup>11-13</sup> Bu nedenle termografi, sadece yanının tanısında değil iyileşmenin devamını izlemek gibi muhtelif klinik sendromların değerlendirilmesinde de kullanılır.<sup>8,11,14,15</sup> Atlarda ekstremitelerin direkt radyografisi çoğunlukla sadece sert dokular (kemik ve kısmen kıkıldak) hakkında bilgiler verir. Yumuşak doku lezyonları, bölgede aşırı şişkinlik, yer değiştirmeye, gaz kitle birikimi, mineralizasyon şekilleri medikçe direkt radyografi ile tanınamazlar.<sup>16,17</sup> Yanık, ruptur, doğmasal anormaliteler, tendoda kısalma veya uzama, avulsiyon, mineralizasyon gibi durumların saptanması şirürjikal girişimin başarılı olması açısından büyük önem taşımaktadır.<sup>18</sup> Bu nedenle bu çalışmada atların ön bacak fleksor tendolarında görülen ve önemli klinik sorunlara neden olan akut peritendinitislerin termografik, ultrasonografik ve radyografik tanı yöntemleri ile karşılaştırılmış olarak araştırılması ve teş-

histe beraber kullanımlarının önemini tespit etmek amaçlanmıştır.

## GEREÇ ve YÖNTEM

Çalışmanın gerecini Jandarma At Köpek Eğitim Merkez (JAKEM) Komutanlığı, Nevşehir'de konuşlanan toplam 16 at oluşturmuştur. Bu atlardan 12 tanesi yarımkınlı İngiliz, 2 tanesi saf kan İngiliz, 1 tanesi saf kan Arap ve 1 tanesi Belçika ırklarına aitti.

Termografik incelemeler için FLIR marka ThermaCAM E45 model (160X120 piksel, 0,10 derece yüksek termal hassasiyet, -20 derece ile +250 derece sıcaklık ölçüm aralığı, otomatik sıcak nokta tespiti, JPEG formatlı infrared resim kaydı, 700 g ağırlık, lazer ışını ile işaretleme ve yazılım özelliklerine sahip (48) cihaz; ultrasonografik incelemeler için PIE Medikal (Falco Vet 100) marka, 6-8 MHz frekansa sahip linear probolu, taşınamaz ultrason ünitesi; radyografik incelemeler için SMAM marka MobiDrive ar30 model 300 mA gücünde, 195 kg ağırlığında seyir röntgen cihazı kullanıldı. Filmler MEDIPHOT marka 902S modeli otomatik dijital röntgen banyo cihazında hazırlandı.

Bu çalışmada, atlara durmaksızın 4 saat süreyle yorucu ve ağır egzersiz yapıtıldı. Bu egzersizler sırasında atlara ani durma, ani dönme, engel atlama, engebeli ve bozuk arazide binici üzerinde olmak kaydıyla tendoları zorlayıcı, üzerine aşırı yük bindirici hareketler yapıtıldı.

Egzersizi takiben hayvanlar hemen incelemeye alındı. Çalışma boyunca hayvanlara hiçbir sedatif ve anestezik ilaç verilmedi. Gerek duyulduğu durumlarda bir yardımcı tarafından tespiti sağlandı. Vücut ağırlığının 4 bacağa normal olarak dağılması için atlaların hareket etmemesine dikkat edildi. Çalışma süresince atlara hiçbir ilaç uygulanmadı. Sadece ön ekstremiteler, fleksor tendolardan MFDS ve MFDP çalışmanın konusunu teşkil etti.

Termografik inceleme için, atlar hava sirkülasyonun olmadığı, güneş ışığının ulaşmadığı, kapalı ve loş bir odaya alınıp, çevre ısısına alışması için en az 20 dk bekletildi.<sup>10</sup> Oda ısısının 300 altında olması sağlanı. İncelenen bölgede, yayılan ısida herhangi bir anomal durum olmaması için ortamda tek tip hava akımına özen gösterildi. Termografi cihazı havadan 60-80 cm mesafede olacak şekilde yerleştirildi. 8,00 - 30,00 referans aralığında (Emilebilirlik:0,99 Yansıyan Sıcaklık:20,00, Atmosferik Sıcaklık:20,00 Relatif Nem:% 30,0) görüntüler alındı. Görüntüler egzersizden önce, egzersizden hemen sonra (20 dk çevre ısısına adaptasyonu takiben), 35., 50. ve 80. dk, 7.gün ve 14. günlerde alındı. Veriler bilgisayar ortamında kayıt edilerek incelendi.

Ultrasonografik inceleme için, atlar tespit edilip postmetacarpal bölge os carpi accessorium'dan proksimal susam kemiğine kadar jilet ile tıraş edildi. Tıraştan sonra bölge ıslak bir sünger ile silinip killar uzaklaştırıldı. Bölgenin nemlenmesini takiben ultrason jeli (Lomex marka EKG ultrason jeli) sürüldü. Jelin kıvamına özen gösterildi. Ara yastık olarak ilk veya soğuk su dolu balon kullanıldı. Prob ara yastık yüzeyleri ile ara yastık deri yüzeylerine jel sürüldü ve yüzey aralarında hava kabarcığı kalmamasına dikkat edildi. Tendolar yukarıdan aşağıya doğru incelen-di. Aynı bölge 4-5 kez incelenerek en iyi görüntü alınıncaya kadar tarama yapıldı.

Radyografik inceleme için, atın ayağı yerdeyken metakarpusun direkt radyografisi 30x40 ebadındaki filme çekildi. Cihaz 65 kV ve 15 mA dozuna ayarlanarak her iki ön bacağın lateromedial yönlü görüntüsü alındı. Otomatik banyo makinasında filmler banyo edilerek incelendi.

### **İstatistiksel Analizler**

Grupların ortalaması değerleri arasındaki farklılığın önemliliği için tesadüfi bloklar deneme düzeneğe varyans analizi (ANOVA), farklıların hangi grup ya da gruptardan kaynaklandığını saptamak için Duncan testi yapılmıştır (19). Egzersizden önce ve egzersizden sonra atların yaş, cinsiyet, ırk ve ağırlık değişkenleri ile termografî ve ultrason verileri arasında herhangi bir bağımlılık olup olmadığını tespit etmek için Ki-Kare Bağımsızlık Testi kullanılmıştır. İstatistiksel analizler SPSS 13.0 paket programı vasıtasiyla gerçekleştirilmiştir.

### **BULGULAR**

Klinik muayenelerde birinci ve ikinci bölge civarında hafif bir hassasiyet olduğu tespit edildi. Bölgede dikkate değer oranda bir şişlik yoktu. Yangı belirtileri kayda değer değildi. Termografî sonuçları ultrasonografik sonuçlarla karşılaştırıldığında termografî ölçümü daha güvenli sonuçlar verdi. Yoğun egzersizden önce ve sonra termografî verilerin ortalamaları arasındaki fark istatistiksel olarak anlamlı bulundu ( $p<0.05$ ). Egzersiz öncesi ve sonrası ultrason görüntüleri arasında yapılan istatistik herhangi bir anlamlı sonuç vermedi ( $p>0.05$ ). Yani normal tendo görüntüsü ile akut dönem peritendinitis arasında bir fark yoktu. Termografî, ultrasonografik ve radyografik ölçüm sonuçları Çizelge 1-10 ve Şekil 1-3'te verilmiştir.

### **TARTIŞMA ve SONUÇ**

Bu çalışma da kullanılan beygir ve kısraklarda yorucu egzersizden sonra tendo ve çevresinde meydana gelen akut yanının termografî, ultrasonografî ve radyografî yöntemlerle karşılaştırılmış erken tanısı incelendi.

Genel olarak termografî diğer tanı yöntemlerine alternatif olmak yerine beraber kullanıldığından faydalıdır.<sup>8</sup> Çalışmamızda da termografî herhangi bir klinik belirti olmamasına rağmen akut peritendinitis olgularını başarılı bir şekilde göstermiştir.

Araştırmacılar termografide atın muayene edilecek vücut yüzeyinin temiz ve kuru olması, atın kil uzunluğunun uniform olması gerektiğini ve muayeneden önceki iki saat içinde timar yapılmaması gerektiğini belirtmişleridir. Ayrıca killar vücuttan infrared ışının yayılmasını önleyip izole ettiklerinden kılısız veya tıraşlanmış bölgelerin daha sıcak görüleceğini bildirmiştir.<sup>6,8,9,20-22</sup> Çalışmamız da ultrason görüntüleri elde edebilmek için incelenen bölge tıraş edildiğinden 7. ve 14. günlerde sıcaklık artışından dolayı hatalı sonuçlar verdiği tespit edilmiştir. Bu artışın tıraşlanan bölgenin havaya temasında kaynaklanabileceği düşünülmüştür.

Araştırmacılar termografik taramanın yapıldığı ortamın hava akımı olmayan, az ışık alan loş bir odada, 30° nin altında ve 15-20 dk ortamın ısısına alışma periyodundan sonra yapılması gerektiğini vurgulamışlardır.<sup>7,9,13,14,23</sup> Bizde çalışmamızda bu bilgilere paralel olarak termografik incelemeleri hava akımı olmayan, az ışık alan loş bir odada ve hayvanları en az 20 dk beklettikten sonra gerçekleştirdik.

Çalışmamızda termografî cihazıyla ağır egzersiz öncesi, egzersizden 20, 35, 50, 80 dk, 7 gün ve 14 gün sonraki görüntüleri ve vücuttan yayılan infrared ışının değerleri ölçülerek farklı sürelerdeki ısı ortalamaları arasında istatistiksel olarak anlamlılık olup olmadığı varyans analizi (ANOVA) ve Duncan Testi ile irdelenmiştir. İstatistiksel değerlendirmelerde termografî ölçümlerinde egzersiz öncesi ve egzersiz sonrasında incelenen her bölgedeki sıcaklık ortalamaları arasında anlamlı farklar gözlenmiştir ( $p<0.05$ ).

Egzersizden sonra vücut ısısı normal sınırlarına yaklaşık 60. dk da döndü. Simon ve arkadaşlarının yaptığı bir çalışmada ise hafif efordan sonra vücut ı-sısı normal sınırlarına yaklaşık 45 dk sonra döndüğünü kaydetmişlerdir.<sup>15</sup>

Ultrasonografik incelemelerde anlamlı bir bulguya rastlanılmaması, tendo kılıfında herhangi bir doku hasarı meydana gelmediğinden kaynaklandığı düşünlmektedir.

Değerlendirmenin hassasiyeti açısından ultrasonografik muayeneler sırasında atın dört ayağına dengeli ve eşit şekilde basmasının önemli olduğu bildirilmektedir. Muayeneye izin vermeyen atlarda

sedatif bir ilaç uygulanabileceği belirtilmektedir.<sup>24-28</sup> Çalışmamızda kullandığımız atlarda bu duruma özen gösterildi. Gerektiğinde atlar travaya alınarak hareketsizliği sağlandı. Ksilazin gibi sedatif ilaçların uygulanması kan akımı ve superfisial perfüzyon üzerine etkilerden dolayı<sup>8</sup>, özellikle termografide hatalara sebep olacağından hiç kullanılmadı.

Araştırmacılar tendoların ultrasonografik muayenesi için bölgenin tıraşının elektirkli tıraş makinası ile yapılması uygun olduğunu belirtmişlerdir.<sup>24,25,27-29</sup> Çalışmamızda os carpi accessorium'dan, proksimal susam kemiklerine kadar olan metakarpal bölgenin arka yüzü jiletle tıraş edilmiştir. Tıraş işlemi sırasında atın hareket etmemesine, kanama olmamasına ve havaya kabarcığına neden olacağından bölgede hiç kıl kalmamasına özen gösterilmiştir. Jilet ile yapılan tıraşın daha iyi görüntü verdiği gözlenmiştir.

Belt yaptığı çalışmada yüzlek dokular ve yakın bölgede oluşan artefakları gidermek için ara yastık kullanılması gerekliliğini belirtmiştir. Ara yastık kullanımının yakın bölgelerde yoğun olan inhomojenite, hastanın derisi ve proba bağlı oluşan tekrarlamalarдан kaynaklanan artefakları giderdiğini ve probun odak noktasının yüzlek dokulara gelecek şekilde ayarlayarak rezolusyonu artırıldığını vurgulamıştır.<sup>30</sup> Çalışmazda bu verilere paralel olarak ara yastık olarak ilk su lateks eldiven kullanılmış ve yüzlek yapılarının daha net görüldüğü tespit edilmiştir. Literatürlerde ara yastık olarak probun tarama yüzüne uyumlu fabrikasyon üretim ara yastıklar olduğu bahsedilmiştir.<sup>30,31</sup> Bu çalışmada maliyetinin düşük olması ve ilk su dolu lateks eldivenin daha net görüntü vermesinden dolayı, ara yastık olarak lateks eldiven kullanılmıştır. Fakat ara yastık olarak lateks eldiven kullanımı uygulama zorluğu doğurmuştur.

Literatürlerde longitudinal taramalar için linear probun, transversal taramalar için mekanik sektör probun daha uygun olduğunu bildirilmektedir.<sup>24,28</sup> Çalışmamızda transversal ve longitudinal görüntüler elde etmek için linear prob kullanılmıştır. Kullanılan 8 MHz linear prob reproduksiyon amaçlı olduğu halde metakarpal bölgenin palmar yüzüne yerleştirilerek palmarodorsal tarama şeklinde yapılan transversal kesitlerde MFDS ve MFDP tendo ölçülerinin tespiti bakımından çok net görünler elde edilmiştir.

Atlarda ekstremitelerin direkt radyografisinin çokunlukla sadece sert dokular (kemik ve kısmen kırıdak) hakkında bilgiler verdiği, yumuşak doku lezyonlarının bölgede aşırı şişkinlik, yer değiştirmeye, gaz kitle birikimi ve mineralizasyon şekillenmedikçe direkt radyografi ile görüntülenemeyeceği araştırmacılar tarafından bildirilmiştir.<sup>5,16,17,32</sup>

Bu gibi oluşumların görüntülenmesi için ultrasonografî, tenoskopî gibi modern tanı yöntemleri yanında indirekt radyografiden de geniş ölçüde yararlanabilecegi bildirilmektedir.<sup>5,33,16-18</sup> Pozitif, negatif ve çift kontrast tekniklerle yangısal değişimler, ruptur, doğmasal anomaliteler, tendoda kısalma veya uzama gibi durumlar saptanabilmektedir.<sup>5,16-17,34</sup> Bu çalışmada atların ön bacak fleksor tendoları egzersizden hemen sonra 7. ve 14. günlerde lateromedial yönlü görüntülenmeye çalışıldı. Yumuşak dokuların non-invaziv yöntemlerle karşılaştırıldığımız için röntgen çekimlerinde kontrast madde kullanılmadığından egzesizden hemen sonra 7. ve 14. günlerde radyografide flaksor tendoların görüntüsü elde edilememiştir.

Sonuç olarak; toplam 16 beygir ve kısrakta yapılan bu çalışma da termografi yönteminin ultrasonografî ve radyografî yöntemlerine göre akut akut peritendinitis olgularının tanımda daha hassas, daha güvenilir, daha hızlı ve daha kaliteli sonuçlar verdiği gözlenmiştir. Özellikle spor atlarda yarış öncesi tendolarda mercut subklinik yanıkların erken teşhisinde termografi güvenle kullanılacağı ve atın performansının neden düşük olduğu sorusuna ışık tutması bakımından klinisyen veteriner bekimler tarafından bu yöntemin başarılı ile kullanılabileceği kanaatine varılmıştır ■

Çizelge 1. Ön bacaklarda ortalama termografi ölçüm değerleri (°C)

Table 1. Average thermographic measurements in front legs (°C)

Sıra no	Atın Adı	E.Ö.	Sağ ön bacak					Sol ön bacak							
			20"	35"	50"	80"	7. GÜN	14. GÜN	E.Ö.	20"	35"	50"	80"	7. GÜN	14. GÜN
1	Kosova	19.4	22.6	21.3	22.6	21.5	33.3	20.6	18.2					32.4	21.1
2	Hayal	26.1	27.7	29.8	30.7	29.8	32.2	29.9	27.2					32.6	28.2
3	Öztimur	24.6	29.5	28.7	27.9	27.9	33.9	30.3	26.4					33.9	31.9
4	Peri	25.4	30.2	31.4	31.1	28.7	23.7	30.3	24.9					22.9	30.8
5	Öksüz	19.2	23.0	23.5	22.8	23.1	32.1	31.7	18.5	23.6	23.6	22.9	22.6	33.7	32.3
6	O. Sultan	17.9	20.9	20.5	22.0	22.0	29.5	20.8	19.0					24.1	21.5
7	O. Güzeli	22.1	24.4	23.6	21.8	22.4	22.5	26.9	20.9	23.4	23.3	22.0	22.9	23.3	28.5
8	Haydi	20.9	23.1	23.3	24.0	16.4	28.5	27.3	20.9	24.4	23.8	25.4	16.8	30.0	24.0
9	Prenses	24.3	25.6	26.0	26.0	23.2	31.1	24.4	25.3	27.2	24.1	25.5	21.9	30.5	26.0
10	Kanlı	23.4	26.0	24.2	25.0	24.3	27.6	23.4	23.1	26.7	22.7	25.3	24.4	30.5	31.0
11	Öncü	16.2	25.5	28.8	25.2	26.3	29.3	29.7	17.0	26.6	27.7	24.1	27.9	29.2	28.8
12	Buket	23.3	28.9	28.5	29.6	30.6	34.0	19.5	22.0	26.3	25.3	26.1	23.7	35.0	19.8
13	Plevne	17.6	21.3	20.8	20.1	19.3	26.5	30.6	17.9	22.1	21.9	20.3	19.3	26.8	32.9
14	Oylum	17.3	25.0	25.1	23.1	21.7	26.8	29.3	16.8	24.1	24.5	21.6	22.5	27.3	29.0
15	Hanedan	24.2	26.1	25.7	25.9	25.8	28.1	24.7	23.0	25.5	23.3	24.0	25.2	27.9	32.4
16	Özaltay	21.5	27.2	25.7	26.8	22.0	28.0	31.7	20.4	23.4	24.0	25.2	22.9	29.0	23.3

E.Ö.: Egzersiz Öncesi, O. Güzeli.: Oymak Güzeli, O. Sultan: Oruçsultan

"= Dakika

Çizelge 2. Egzersiz öncesi sağ ön bacak ortalama superfisiyal tendon ultrasonografı ölçüm değerleri

Table 2. Average ultrasonographic measurement values for superficial tendon before exercise in right front leg

SIRA NO	ATIN ADI	E.Ö.			
		Mesafe (cm)	Kalınlık (cm)	Çevre (cm)	Alan (cm <sup>2</sup> )
1	Kosova	1.7	0.51	4.8	1.1
2	Hayal	1.7	0.44	4.6	0.9
3	Öztimur	1.5	0.45	4.1	0.7
4	Peri	1.6	0.36	4.4	0.8
5	Öksüz	1.5	0.54	4.4	0.9
6	Oruçsultan	1.5	0.47	4.3	0.7
7	Oymakgüzeli	1.6	0.51	4.3	0.8
8	Haydi	1.7	0.45	4.5	1.0
9	Prenses	1.4	0.35	3.8	0.6
10	Kanlı	1.6	0.44	4.6	0.9
11	Öncü	1.6	0.34	3.7	0.7
12	Buket	1.7	0.54	4.5	1.0
13	Plevne	1.5	0.44	4.3	0.8
14	Oylum	1.8	0.50	4.7	1.0
15	Hanedan	1.9	0.55	5.2	1.3
16	Özaltay	1.5	0.34	4.1	0.6

Çizelge 3. Egzersiz öncesi sağ ön bacak ortalama profund tendon ultrasonografı ölçüm değerleri

Table 3. Average ultrasonographic measurement values for profund tendon before exercise in right front leg

SIRA NO	ATIN ADI	E.Ö.			
		Mesafe (cm)	Kalınlık (cm)	Çevre (cm)	Alan (cm <sup>2</sup> )
1	Kosova	1.4	1.13	4.1	1.2
2	Hayal	1.2	0.77	3.4	0.7
3	Öztimur	1.3	1.01	3.9	1.0
4	Peri	1.2	0.89	3.5	0.9
5	Öksüz	1.3	1.09	3.9	1.1
6	Oruçsultan	1.2	1.09	3.6	1.0
7	Oymakgüzeli	1.3	0.97	3.7	0.9
8	Haydi	1.7	1.17	4.6	1.4
9	Prenses	1.2	1.09	3.5	0.9
10	Kanlı	1.5	1.08	3.9	1.1
11	Öncü	1.4	0.82	3.8	1.0
12	Buket	1.4	1.17	4.3	1.3
13	Plevne	1.3	0.95	4.2	1.3
14	Oylum	1.4	1.01	3.9	1.1
15	Hanedan	1.6	0.92	5.1	1.3
16	Özaltay	1.5	0.81	4.0	1.0

**Çizelge 4.** Egzersiz öncesi sol ön bacak ortalama süperfisiyal tendo ultrasonografi ölçüm değerleri

**Table 4.** Average ultrasonographic measurement values for superficial tendon before exercise in left front leg

SIRA NO	ATIN ADI	E.Ö.			
		Mesafe (cm)	Kalınlık (cm)	Çevre (cm)	Alan (cm <sup>2</sup> )
1	Kosova	1.8	0.57	4.8	1.1
2	Hayal	1.7	0.41	4.5	0.9
3	Öztimur	1.5	0.41	4.0	0.6
4	Peri	1.5	0.42	4.3	0.8
5	Öksüz	1.5	0.48	4.3	0.9
6	Oruçsultan	1.6	0.46	4.4	0.8
7	Oymakgüzel	1.6	0.46	4.3	0.8
8	Haydi	1.6	0.46	4.4	0.9
9	Prenses	1.3	0.38	3.7	0.6
10	Kanlı	1.6	0.43	4.7	0.9
11	Öncü	1.6	0.36	3.6	0.6
12	Buket	1.7	0.59	4.5	1.1
13	Plevne	1.4	0.43	4.4	0.9
14	Oylum	1.7	0.53	4.7	1.1
15	Hanedan	1.9	0.59	5.2	1.3
16	Özaltay	1.5	0.39	4.1	0.7

**Çizelge 5.** Egzersiz öncesi sol ön bacak ortalama profound tendo ultrasonografi ölçüm değerleri

**Table 5.** Average ultrasonographic measurement values for profund tendon before exercise in left front leg

SIRA NO	ATIN ADI	E.Ö.			
		Mesafe (cm)	Kalınlık (cm)	Çevre (cm)	Alan (cm <sup>2</sup> )
1	Kosova	1.5	1.10	4.2	1.2
2	Hayal	1.2	0.77	3.4	0.8
3	Öztimur	1.3	1.02	3.9	1.0
4	Peri	1.2	0.87	3.5	0.9
5	Öksüz	1.3	1.16	4.0	1.1
6	Oruçsultan	1.3	1.02	3.7	0.9
7	Oymakgüzel	1.3	0.98	3.7	0.9
8	Haydi	1.7	1.22	4.7	1.5
9	Prenses	1.2	1.05	3.4	0.8
10	Kanlı	1.4	1.15	3.9	1.2
11	Öncü	1.5	0.86	3.9	1.0
12	Buket	1.4	1.12	4.3	1.2
13	Plevne	1.3	0.91	4.4	1.3
14	Oylum	1.4	0.90	4.0	1.1
15	Hanedan	1.4	0.98	4.4	1.2
16	Özaltay	1.5	0.84	3.8	1.0

**Çizelge 6.** Sağ ön bacak ortalama profund tendo ultrasonografi ölçüm değerleri

**Table 6.** Ultrasonographic measurement values for profund tendon in right front leg

SIRA NO	ATIN ADI	90. DAKİKA				7. GÜN				14. GÜN			
		Mesafe (cm)	Kalınlık (cm)	Çevre (cm)	Alan (cm <sup>2</sup> )	Mesafe (cm)	Kalınlık (cm)	Çevre (cm)	Alan (cm <sup>2</sup> )	Mesafe (cm)	Kalınlık (cm)	Çevre (cm)	Alan (cm <sup>2</sup> )
1	Kosova	1.83	1.03	4.87	1.1	1.3	1.09	4.3	1.2	1.4	1.11	4.1	2.7
2	Hayal	1.45	0.99	3.66	0.8	1.2	0.89	3.7	0.9	1.3	0.72	3.5	2.4
3	Öztimur	1.49	1.16	4.28	1.1	1.5	0.99	4.0	1.1	1.3	1.05	3.9	2.8
4	Peri	1.56	0.84	3.91	0.8	1.3	0.84	3.5	0.9	1.4	0.86	3.7	2.8
5	Öksüz	1.57	0.88	4.28	0.8	1.3	1.13	3.8	1.1	1.3	1.18	3.8	4.3
6	Oruçsultan	1.49	0.92	4.30	1.0	1.2	1.07	3.8	1.0	1.2	1.01	3.5	2.4
7	Oymakgüzel	1.13	0.97	3.74	0.8	1.3	1.11	4.0	1.2	1.3	0.86	3.6	2.7
8	Haydi	2.69	0.89	6.31	1.7	1.6	1.03	4.7	1.4	1.7	1.19	4.4	3.3
9	Prenses	1.15	1.07	3.81	0.9	1.3	0.95	3.9	1.0	1.2	1.09	3.8	2.7
10	Kanlı	1.85	0.95	4.94	1.3	1.4	1.03	4.2	1.2	1.4	1.11	4.0	2.9
11	Öncü	1.58	0.82	4.18	0.8	1.3	0.93	3.7	0.9	1.4	0.90	3.7	2.9
12	Buket	1.60	1.21	4.80	1.2	1.5	1.13	4.2	1.3	1.4	1.09	4.1	2.9
13	Plevne	1.82	0.90	4.81	1.1	1.4	0.99	4.3	1.2	1.3	0.99	3.8	2.7
14	Oylum	1.56	1.01	4.40	1.1	1.5	1.11	4.2	1.2	1.5	1.05	4.2	2.8
15	Hanedan	2.08	0.90	5.08	1.3	1.5	1.01	4.3	1.2	1.5	1.00	4.4	3.1
16	Özaltay	1.54	0.81	4.05	0.9	1.3	0.91	3.6	0.9	1.5	0.88	4.0	3.0

**Çizelge 7.** Sol ön bacak ortalama profund tendo ultrasonografi ölçüm değerleri

**Table 7.** Ultrasonographic measurement values for profund tendon in left front leg

SIRA NO	ATIN ADI	90. DAKİKA				7. GÜN				14. GÜN			
		Mesafe (cm)	Kalınlık (cm)	Çevre (cm)	Alan (cm <sup>2</sup> )	Mesafe (cm)	Kalınlık (cm)	Çevre (cm)	Alan (cm <sup>2</sup> )	Mesafe (cm)	Kalınlık (cm)	Çevre (cm)	Alan (cm <sup>2</sup> )
1	Kosova	1.2	1.15	3.4	0.8	1.6	1.03	4.6	1.3	1.6	1.11	4.6	1.5
2	Hayal	1.2	1.13	3.7	1.0	1.3	1.03	3.7	1.0	1.2	0.80	3.2	0.8
3	Öztimur	1.4	0.90	3.7	1.0	1.5	1.09	4.2	1.2	1.3	1.01	3.8	1.0
4	Peri	1.2	0.93	3.4	0.8	1.2	1.01	3.6	0.9	1.2	0.88	3.4	0.8
5	Öksüz	1.2	1.06	3.5	0.9	1.3	1.15	4.1	1.2	1.4	1.12	4.1	1.2
6	Oruçsultan	1.4	0.97	4.0	1.0	1.3	1.05	3.8	1.1	1.4	1.05	4.1	1.0
7	Oymakgüzel	1.3	1.05	3.8	0.9	1.3	1.19	4.1	1.1	1.3	1.01	3.7	1.0
8	Haydi	1.6	1.03	4.5	1.3	1.7	1.11	4.8	1.5	1.6	1.24	4.8	1.5
9	Prenses	1.2	0.97	3.6	0.9	1.3	0.89	3.8	1.0	1.1	1.03	3.2	0.8
10	Kanlı	1.3	1.16	4.8	1.4	1.4	1.05	4.3	1.3	1.3	1.11	4.0	1.1
11	Öncü	1.3	1.15	4.1	1.1	1.4	1.09	4.1	1.2	1.5	0.84	4.0	1.0
12	Buket	1.5	1.28	4.6	1.4	1.5	1.01	4.2	1.3	1.4	1.13	4.3	1.3
13	Plevne	1.3	1.05	4.4	1.2	1.6	0.99	4.4	1.3	1.4	0.92	5.0	1.4
14	Oylum	1.5	0.88	4.0	1.0	1.3	1.01	4.0	1.1	1.3	0.92	3.9	1.1
15	Hanedan	1.7	0.90	5.1	1.5	1.5	0.99	4.4	1.2	1.5	0.97	4.4	1.2
16	Özaltay	1.4	0.80	3.8	1.0	1.5	0.97	3.9	1.0	1.4	0.82	3.7	0.9

**Çizelge 8.** Sağ ön bacak ortalama süperfisiyal tendo ultrasonografi ölçüm değerleri  
**Table 8.** Ultrasonographic measurement values for superficial tendon in right front leg

SIRA NO	ATIN ADI	90. DAKİKA				7. GÜN				14. GÜN			
		Mesafe (cm)	Kalınlık (cm)	Çevre (cm)	Alan (cm <sup>2</sup> )	Mesafe (cm)	Kalınlık (cm)	Çevre (cm)	Alan (cm <sup>2</sup> )	Mesafe (cm)	Kalınlık (cm)	Çevre (cm)	Alan (cm <sup>2</sup> )
1	Kosova	1.7	0.66	4.7	1.28	1.78	0.68	4.75	1.05	1.92	0.60	5.16	1.01
2	Hayal	1.8	0.51	4.7	0.86	2.08	0.52	5.68	1.06	2.27	0.43	6.08	1.16
3	Öztimur	1.6	0.43	4.1	0.76	1.96	0.43	5.46	0.94	1.79	0.43	4.64	0.84
4	Peri	1.6	0.25	4.5	0.70	2.09	0.47	5.48	0.95	2.15	0.35	6.06	0.93
5	Öksüz	1.6	0.41	4.8	0.83	1.85	0.47	5.17	0.92	1.81	0.51	5.07	0.95
6	Oruçsultan	1.6	0.47	4.2	0.84	1.72	0.48	4.56	0.77	1.60	0.44	5.03	0.68
7	Oymakgüzel	1.5	0.53	4.1	0.81	1.78	0.47	5.01	0.90	1.94	0.44	5.19	0.88
8	Haydi	2.1	0.36	5.7	1.35	2.29	0.51	5.55	1.12	2.08	0.49	5.48	1.10
9	Prenses	1.3	0.38	3.8	0.62	1.57	0.39	4.56	0.63	1.66	0.37	4.70	0.68
10	Kanlı	1.8	0.50	4.9	0.79	1.95	0.46	5.60	1.00	1.97	0.41	5.75	1.07
11	Öncü	1.5	0.39	4.1	0.78	1.60	0.38	4.30	0.65	1.82	0.31	4.30	0.61
12	Buket	1.6	0.45	4.8	1.03	2.11	0.41	5.31	0.99	2.13	0.56	5.09	1.00
13	Plevne	1.6	0.39	4.6	0.98	1.97	0.50	5.40	0.81	1.73	0.42	4.39	0.69
14	Oylum	1.8	0.51	5.0	0.97	2.03	0.52	5.58	1.08	2.17	0.52	5.62	1.14
15	Hanedan	2.1	0.63	5.6	1.30	2.25	0.54	5.68	1.21	2.32	0.57	5.91	1.24
16	Özaltay	1.5	0.34	3.8	0.64	1.88	0.41	4.81	0.74	1.81	0.33	4.99	0.79

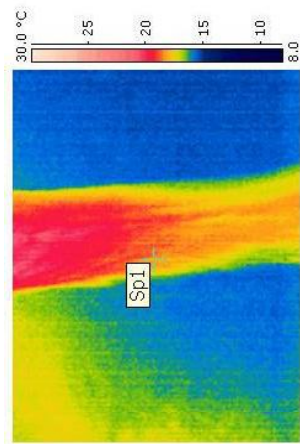
**Çizelge 9.** Sol ön bacak ortalama superfisiyal tendo ultrasonografi ölçüm değerleri**Table 9.** Ultrasonographic measurement values for superficial tendon in left front leg

SIRA NO	ATIN ADI	90. DAKİKA				7. GÜN				14. GÜN			
		Mesafe (cm)	Kalınlık (cm)	Çevre (cm)	Alan (cm <sup>2</sup> )	Mesafe (cm)	Kalınlık (cm)	Çevre (cm)	Alan (cm <sup>2</sup> )	Mesafe (cm)	Kalınlık (cm)	Çevre (cm)	Alan (cm <sup>2</sup> )
1	Kosova	2.25	0.66	5.91	1.51	2.43	0.58	6.02	1.33	2.32	0.53	6.06	1.31
2	Hayal	1.82	0.72	4.88	1.07	1.93	0.58	5.19	1.06	2.02	0.45	5.56	1.00
3	Öztimur	1.74	0.43	4.54	0.63	2.12	0.37	5.32	0.88	1.80	0.43	4.71	0.72
4	Peri	1.92	0.45	5.12	0.88	1.62	0.35	4.99	0.75	1.80	0.45	4.89	0.81
5	Öksüz	1.89	0.47	5.56	0.97	1.93	0.50	5.03	0.88	1.95	0.52	5.32	0.82
6	Oruçsultan	1.96	1.51	4.71	0.68	1.76	0.48	4.71	0.84	2.21	0.49	5.51	0.99
7	Oymakgüzel	2.01	0.50	4.95	0.97	1.79	0.52	4.79	0.86	1.96	0.52	5.00	0.97
8	Haydi	2.14	0.39	5.43	0.93	2.22	0.45	5.50	0.99	1.80	0.48	4.64	0.86
9	Prenses	1.80	0.31	4.92	0.64	1.80	0.41	4.65	0.66	1.50	0.39	3.83	0.54
10	Kanlı	1.88	0.53	5.03	0.93	1.94	0.52	5.41	1.04	1.94	0.47	5.58	0.94
11	Öncü	1.41	0.45	4.30	0.65	1.61	0.37	4.10	0.73	2.14	0.39	6.14	1.01
12	Buket	2.19	0.54	5.58	1.09	2.20	0.51	5.42	1.05	2.01	0.56	4.96	1.09
13	Plevne	1.76	0.58	4.97	1.07	2.08	0.49	5.62	1.11	2.34	0.45	5.98	1.20
14	Oylum	2.52	0.47	6.14	1.16	1.98	0.49	5.12	0.90	1.94	0.51	5.21	0.94
15	Hanedan	2.56	0.56	6.47	1.33	2.42	0.66	5.98	1.35	2.38	0.60	5.94	1.35
16	Özaltay	1.79	0.38	4.60	0.73	1.94	0.37	5.19	0.75	1.80	0.37	4.79	0.74

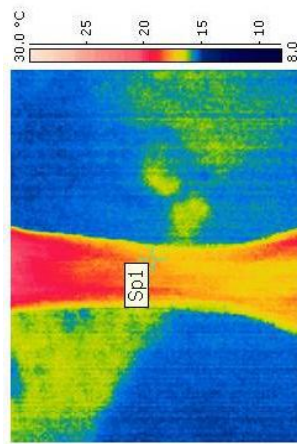
**Çizelge 10.** Sağ ön bacak birinci bölge süperfisiyal tendo ultrasonografi ölçüm değerleri**Table 10.** Ultrasonographic measurement values for the first region of superficial tendon in left right leg

SIRA NO	ATIN ADI	90. DAKİKA			7. GÜN			14. GÜN		
		Mesafe (cm)	Çevre (cm)	Alan (cm <sup>2</sup> )	Mesafe (cm)	Çevre (cm)	Alan (cm <sup>2</sup> )	Mesafe (cm)	Çevre (cm)	Alan (cm <sup>2</sup> )
1	Kosova	1.36	4.11	1.17	1.36	4.21	1.23	1.28	3.89	1.09
2	Hayal	1.43	4.17	0.82	1.18	3.51	0.82	1.41	4.20	0.86
3	Öztimur	1.26	3.52	0.63	1.23	3.49	0.66	1.33	3.79	0.67
4	Peri	1.36	4.15	0.88	1.14	3.84	0.71	1.44	3.84	0.68
5	Öksüz	1.34	4.36	0.82	1.29	3.74	0.92	1.24	3.72	0.97
6	Oruçsultan	1.16	3.46	0.75	1.14	3.24	0.64	1.08	3.11	0.61
7	Oymakgüzel	1.21	3.64	0.73	1.13	3.64	0.74	1.23	3.41	0.71
8	Haydi	1.47	4.08	1.07	1.26	3.82	0.84	1.41	3.87	0.94
9	Prenses	1.01	3.01	0.52	1.02	3.11	0.60	1.18	3.27	0.53
10	Kanlı	1.30	3.93	0.91	1.28	3.53	0.74	1.28	3.89	0.74
11	Öncü	1.13	3.37	0.56	1.19	2.97	0.56	1.15	3.16	0.51
12	Buket	1.33	4.02	1.04	1.30	3.95	0.98	1.38	3.76	0.91
13	Plevne	1.05	3.36	0.69	1.28	3.46	0.70	1.19	3.52	0.80
14	Oylum	1.51	4.17	1.08	1.43	4.40	1.02	1.55	4.58	1.12
15	Hanedan	1.49	4.65	1.34	1.69	4.61	1.33	1.59	4.59	1.32
16	Özaltay	1.15	3.14	0.56	1.12	3.31	0.63	1.16	3.44	0.58

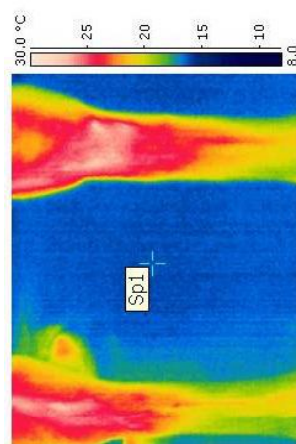
**Şekil 1. Termografik görüntüler**  
**Figure 1. Thermographic views**



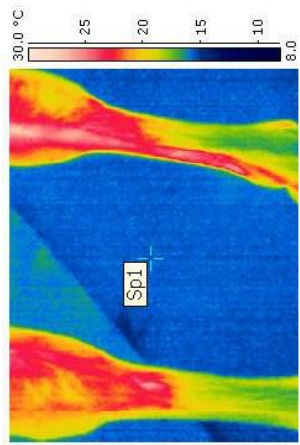
Şekil 1a. Öksüz. Egzersiz öncesi sağ bacak termografi görüntüsü



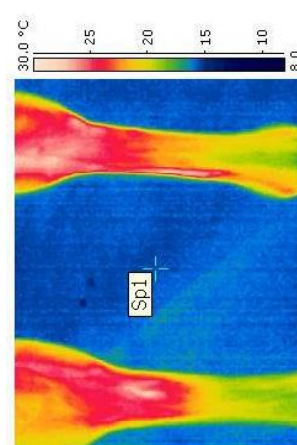
Şekil 1a. Öksüz. Egzersiz öncesi sağ bacak termografi görüntüsü



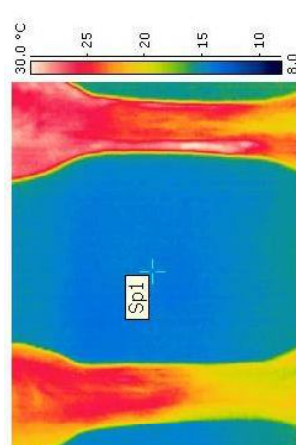
Şekil 1b. Öksüz. Egzersiz öncesi sol bacak termografi görüntüsü



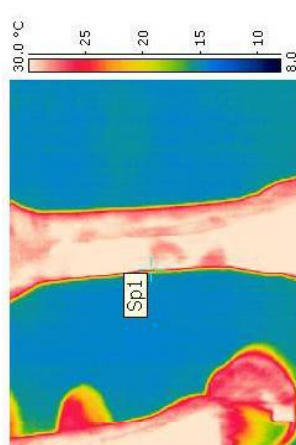
Şekil 1d. Öksüz. Egzersiz sonrası 35. dk çift bacak termografi görüntüsü



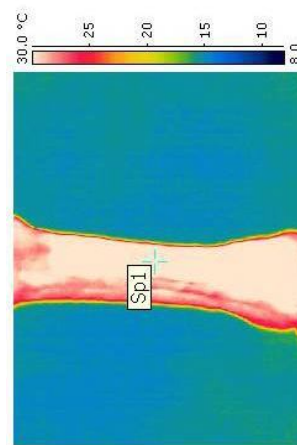
Şekil 1e. Öksüz. Egzersiz sonrası 50. dk çift bacak termografi görüntüsü



Şekil 1f. Öksüz. Egzersiz sonrası 80. dk çift bacak termografi görüntüsü



Şekil 1g. Öksüz. Egzersiz sonrası 7. gün sağ bacak termografi görüntüsü



Şekil 1h. Öksüz. Egzersiz sonrası 7. gün sol bacak termografi görüntüsü

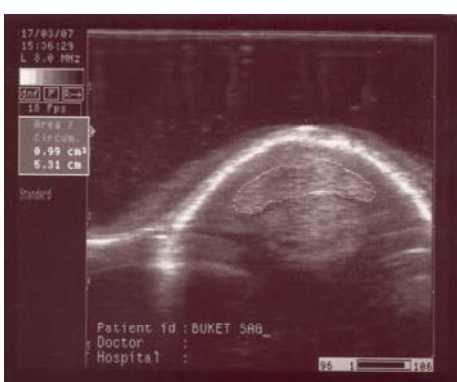
**Şekil 2. Ultrasonografik görüntüler**  
**Figure 2. Ultrasoundographic views**



Şekil 2a. Normal tendo ultrason Görüntüsü



Şekil 2c. Egzersiz sonrası 7. gün ultrason Görüntüsü



Şekil 2b. Egzersiz sonrası 90. dk ultrason Görüntüsü



Şekil 2d. Egzersiz sonrası 14. gün ultrason Görüntüsü

**Şekil 3. Röntgen görüntüler**  
**Figure 3. X-ray views**



Şekil 3a. Bir atın egzersizden önceki metakarpal bölge  
L/M röntgen filmi



Şekil 3b. Şekil 41'de ki atın egzersiz sonrası  
7. gün L/M röntgen filmi

## KAYNAKLAR

- 1- Speirs VC (1997) Clinical Examination of Horses. W.B. Saunders Company, Philadelphia, USA.
- 2- Baird AN, Scruggs DW, Watkins JP, Taylor TS (1990) Effects of antimicrobial solution lavage on the palmar digital tendon sheath in horses. *Am J Vet Res*, 51:1488-1494.
- 3- Van Pelt RW (1969) Tenosynovitis in the horse. *J Am Vet Med Assoc*, 154:1022.
- 4- Van Pelt RW, Riley WE Jr, Tillotson PJ (1969) Tenosynovitis of the deep deep digital flexor tendon in horses. *Can Vet J*, 10:235.
- 5- Verschooten F, DE Moore A (1978) Tendinitis in the horse. It's radiological diagnosis with air-tendograms. *J Am Vet Radiol Sci*, 19:23.
- 6- Stromberg B (1975) Thermography in veterinary medicine, *Bibl Radiol*, 43(6):231-236
- 7- Purohit RC, McCoy MD (1980) Thermography in the diagnosis of inflammatory process in the horse. *Am J Vet Res*, 41:1167.
- 8- Eddy AL, Van Hoogmoed LM, Snyder JR (2001) The role of thermography in the management of equine lameness. *Vet J*, 162:172-181.
- 9- Spire MF (2002) Diagnostic thermography, Western Veterinary Conference
- 10- Turner TA (2001) Diagnostic thermography. *Vet Clin North Am Equine Pract*, 17(1):95-113
- 11- Stromberg B (1974) The use of thermography in equine orthopaedics. *J Vet Radiol*, 15:94.
- 12- Alkan Z (1999) Veteriner Radyoloji, Mina Ajans, Ankara
- 13- Autio E, Neste R, Airaksinen S, Heiskanen M (2006) Measuring the heat loss in horses in different seasons by infrared thermography. *J Appl Anim Welfare Sci*, 3:211-21.
- 14- Holmes LC, Gaughan EM, Gorondy DA, Hogge S, Spire MF (2003) The effect of perineural anesthesia on infrared thermographic images of the forelimb digits of normal horses. *Can Vet J*, 44:392-396.
- 15- Simon EL, Gaughan EM, Epp T, Spire M (2006) Influence of exercise on the thermographically determined surface temperatures of the thoracic and pelvic limbs in horses. *J Am Vet Med Assoc*, 229:1940-1944.
- 16- Smallwood JE, Shively MJ, Rendano VT (1985) A standardized nomenclature for radiographic projections used in veterinary medicine. *Vet Radiol*, 26:2.
- 17- Hago BED, Vaughan LC (1986a) Use of contrast radiography in the investigation of tenosynovitis and bursitis in the horse. *Equine Vet J*, 18:375.
- 18- Crowsom CL, Jann HW, Stein LE, Claypool LP, Moll HD, Blaik MA (2004). Quantitative Effect of Tenorrhaphy on Intrinsic Vasculature of The Equine Superficial Digital Flexor Tendon, *Am J Vet*, 65:279-82.
- 19- Dawson B, Trapp RG (2001). Basic and Clinical Biostatistics (3<sup>rd</sup> ed.) Lange Medical Books/McGraw-Hill Medical Publishing Division, New York.
- 20- Turner TA (1996) Thermography. Proceedings, Dubai Symposium.
- 21- Marr C (1992) Microwave thermography: A non-invasive technique for investigation on injury of the superficial flexor tendon in the horse. *Equine Vet J*, 24:269-273.
- 22- Lauk HD, Kimmick M (1997) Comparison of scintigraphy and thermography in the horse. *Pferdeheilkunde*, 13, 329-334.
- 23- Stromberg B (1973) Morphologic, thermographic and <sup>133</sup>Xe clearance studies on normal and diseased superficial digital flexor tendons in race horses. *Equine Vet J*, 5:156-161.
- 24- Genovese RL, Rantanen NW, Hauser ML, Simpson BS (1986) Diagnostic ultrasonography of equine limbs. *Vet Clin North Am Equine Pract*, 2(1):145-226.
- 25- Hauser ML (1986) Ultrasonic appearance and correlative anatomy of the soft tissues of the distal extremities in the horse. *Vet Clin North Am Equine Pract*, 2:127.
- 26- Belt AJM (1995) Ultrasonography of equine flexor tendons and ligaments. Universiteit Utrecht, Fakulteit der Diergeneeskunde, Thesis Universiteit Utrecht, 9-70.
- 27- Main JPM, Goddard PJ () Scanning the equine limb. Veterinary Ultrasonography. Cab International, UK, 1995, 207-232
- 28- Craychee TJ, Nyland TG, Mattson JS (1995) Ultrasonographic evaluation of equine musculoskeletal injury. Veterinary Ultrasound. Saunders Philadelphia USA, 265-304.
- 29- Redding WR (1991) Ultrasonographic imaging of the structures of the digital flexor tendon sheath. The Compendium North America Edition, 13(12):1824-1833.
- 30- Mason TA (1977) Chronic tenosynovitis of the extensor tendons and tendon sheaths of the carpal region in the horse. *Equine Vet J*, 9:186.
- 31- Çelimli N (2000) Safkan arap atlarında flexor tendolarının ultrasonografik muayenelerle morfometrik ölçülerinin saptanması ve diğer ırklarla karşılaştırılması. Uludağ Üniversitesi Sağlık Bilimleri Enstitüsü Veteriner Cerrahi Anabilim Dalı, Doktora Tezi, Bursa
- 32- Lamb CR (1991) Contrast radiography of equine joints, tendon sheaths, and draining tracts. *Vet Clin North Am Equine Pract*, 7:24.
- 33- Stashak TS (2002) Lameness in horses. Lippincott Williams and Wilkins, Philadelphia, USA.
- 34- Hago BED, Vaughan LC (1986) Radiographic anatomy of tendon sheaths and bursae in the horse. *Equine Vet J*, 18:102.